

СПИСОК ЛИТЕРАТУРЫ

- [1] Гергель В. А., Тарнавский С. П // ФТП. 1992. Т. 26. В. 7. С. 1330—1334.
- [2] Makram-Ebeid S., Lannoo M. // Phys Rev. B. 1982. V. 25. P. 6406.
- [3] Карпук В., Перель В. И. // ЖЭТФ. 1986. Т. 91. В. 6 (12).

Научно-исследовательский институт физических проблем  
им. Ф. В. Лукина  
Москва

Получено 4.01.1992  
Принято к печати 30.01.1992

*ФТП, том 26, вып. 7, 1992*

**ВОЛЬТ-ФАРАДНЫЕ ХАРАКТЕРИСТИКИ ГЕТЕРОСТРУКТУР  
С СЕЛЕКТИВНЫМ ЛЕГИРОВАНИЕМ  
ПРИ НАЛИЧИИ ГЛУБОКИХ ЦЕНТРОВ**

Горев Н. Б., Макарова Т. В., Прохоров Е. Ф., Уколов А. Т., Эппель В. И.

Характеристики канала и параметры двумерного электронного газа в гетероструктурах с селективным легированием (ГСЛ)  $\text{Al}_x\text{Ga}_{1-x}\text{As}-\text{GaAs}$  подвержены значительному влиянию содержащихся в  $\text{Al}_x\text{Ga}_{1-x}\text{As}$  глубоких центров захвата ( $DX$ -центров), концентрация которых может достигать  $10^{18} \text{ см}^{-3}$  [1]. Поэтому можно ожидать, что наличие  $DX$ -центров проявится и в такой важной характеристике, как вольт-фарадная зависимость, которая широко используется для получения самой разнообразной информации о параметрах полупроводниковых структур [2], в том числе и ГСЛ [3]. Изучению влияния глубоких центров на низкочастотную вольт-фарадную зависимость прямой ГСЛ (металл— $\text{Al}_x\text{Ga}_{1-x}\text{As}$ — $\text{GaAs}$ ) и посвящено данное сообщение.

Как известно, низкочастотная барьерная емкость  $C$  следующим образом выражается через электрическое поле  $E_G$  на границе металл—полупроводник:

$$C = \epsilon \epsilon_0 S \frac{dE_G}{dV_G}, \quad (1)$$

где  $S$  — площадь барьерного контакта;  $V_G$  — напряжение, приложенное к барьерному контакту. Найдем зависимость  $E_G(V_G)$ .

Рассмотрим типичную прямую ГСЛ (металл— $n$ - $\text{Al}_x\text{Ga}_{1-x}\text{As}$ — $p$ - $\text{GaAs}$ ). Пусть в слое  $\text{Al}_x\text{Ga}_{1-x}\text{As}$  содержатся мелкие доноры с концентрацией  $N_{D2}$  и глубокие центры захвата с концентрацией  $N_{t2}$  и глубиной залегания  $W_{t2}$ , а в  $\text{GaAs}$  — мелкие акцепторы с концентрацией  $N_{A1}$  (здесь и далее индекс 1 относится к  $\text{GaAs}$ , а 2 — к  $\text{Al}_x\text{Ga}_{1-x}\text{As}$ ). Зонная диаграмма такой структуры приведена на рис. 1. Из этой диаграммы вытекают следующие соотношения:

$$qV_G = \Delta E_c + U_2 - E_F - \varphi_b, \quad (2)$$

$$E_F = U_1 - E_{g2} + \delta_1, \quad (3)$$

где  $q$  — заряд электрона,  $\Delta E_c$  — разрыв зоны проводимости в плоскости гетероперехода,  $U_{1,2}$  — изгиб зоны проводимости,  $E_F$  — энергия Ферми,  $\varphi_b$  — высота барьера Шоттки,  $E_{g2}$  — ширина запрещенной зоны,  $\delta_1 = kT \ln N_{v1}/N_{A1}$  — положение дна валентной зоны относительно уровня Ферми ( $N_{v1}$  — плотность состояний в валентной зоне).

Из (2) и (3) вытекает, что зависимость  $E_G(V_G)$  удобно искать в параметрическом виде, используя в качестве параметра значение электрического поля  $E_{j1}$

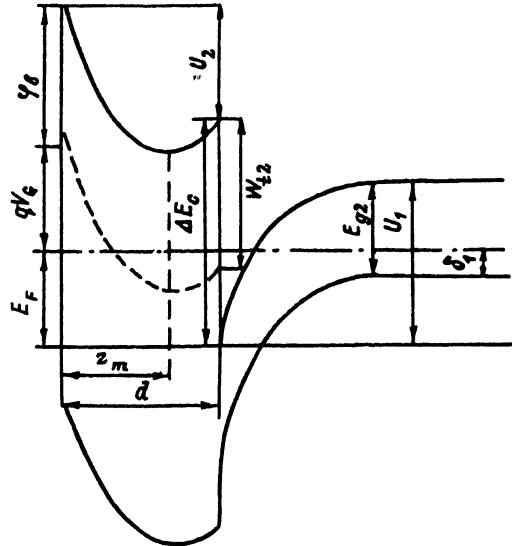


Рис. 1. Зонная диаграмма структуры металл— $\text{Al}_x\text{Ga}_{1-x}\text{As}$ —ГаAs.

в плоскости гетероперехода со стороны ГаAs. Действительно, в приближении треугольной потенциальной ямы  $U_1$  выражается через  $E_F$  и  $E_{j1}$  следующим образом [4]:

$$U_1 = \frac{q^2}{2\epsilon_0\epsilon_1} \frac{1}{N_{A1}} \left( \epsilon_0\epsilon_1 E_{j1} / q - \sum_i n_{si} \right)^2 + \frac{2}{3} \frac{q}{\epsilon_0\epsilon_1 E_{1j}} \sum_i n_{si} E_i, \\ n_{si} = \frac{m^* kT}{\pi \hbar^2} \ln \left( 1 + \exp \frac{E_F - E_i}{kT} \right), \\ E_i = \left( \frac{\hbar^2}{2m^*} \right)^{1/3} \left[ \frac{3}{2} \pi q E_{j1} \left( i + \frac{3}{4} \right) \right]^{2/3}. \quad (4)$$

Здесь  $\epsilon_1$  — относительная диэлектрическая проницаемость полупроводника;  $E_i$  ( $i = 0, 1, 2, \dots$ ) — собственные значения энергии, соответствующие дну двумерных подзон;  $n_{si}$  — поверхностная плотность электронов в  $i$ -м состоянии;  $m^*$  — эффективная масса электрона. Следовательно,  $E_F$ , входящая в выражение (2) для  $V_G$ , определяется из трансцендентного уравнения, получаемого подстановкой выражений (4) в (3). Входящая же в (2) величина  $U_2$ , а также искомая величина  $E_G$  легко выражаются через электрическое поле  $E_{j2} = E_{j1}\epsilon_1/\epsilon_2$  в плоскости гетероперехода со стороны  $\text{Al}_x\text{Ga}_{1-x}\text{As}$ , если пренебречь зарядом свободных носителей в слое  $\text{Al}_x\text{Ga}_{1-x}\text{As}$  и положить, что глубокие центры полностью заняты, когда уровень Ферми лежит выше них, и полностью опустошены в противоположном случае.

Типичные результаты расчета зависимости низкочастотной емкости от обратного напряжения на затворе приведены на рис. 2 [ $T = 300$  К,  $S = 300$  мкм $^2$ ,  $x = 0.3$  ( $\Delta E_c = 0.3$  эВ), ширина слоя  $\text{Al}_x\text{Ga}_{1-x}\text{As}$   $d = 0.03$  мкм,  $N_{D2} = 2 \cdot 10^{18}$  см $^{-3}$ ,  $W_{t2} = 0.5$  эВ,  $N_{A1} = 10^{14}$  см $^{-3}$ ,  $\varphi_b = 0.8$  эВ]. Кривая 1 (глубокие центры отсутствуют) показывает хорошее соответствие с расчетом работы [3]. Глубокие центры (кривые 2—4) вносят в ход зависимости два хорошо заметных отличия — растущий участок и разрыв. Что касается последнего, то физический смысл резкого падения емкости заключается в

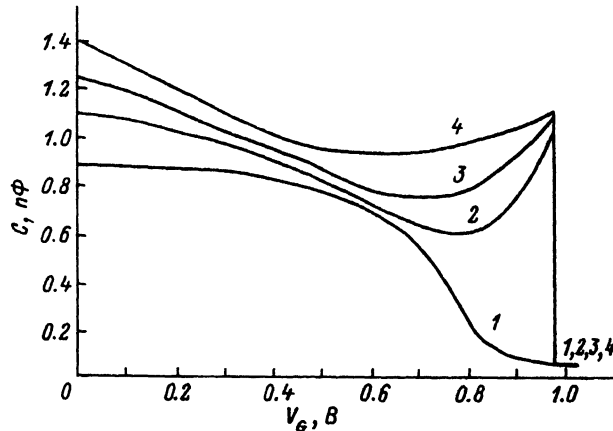


Рис. 2. Зависимость низкочастотной емкости структуры металл— $\text{Al}_x\text{Ga}_{1-x}\text{As}$ —ГаAs от обратного напряжения на затворе.

$N_{T2}, \text{ см}^{-3}$ : 1 — 0, 2 —  $3 \cdot 10^{17}$ , 3 —  $5 \cdot 10^{17}$ , 4 —  $7 \cdot 10^{17}$ .

достижении той степени обеднения слоя  $\text{Al}_x\text{Ga}_{1-x}\text{As}$  свободными носителями, когда глубокие центры полностью опустошены и их роль в определении емкости становится неотличимой от роли мелкой примеси. Формально же разрыв кривой связан с использованием ступенчатой аппроксимации степени заполнения глубоких центров.

Рассмотрим причину роста  $C$  при наличии глубоких центров. Для этого сначала напомним, что вид зависимости  $C(V_g)$  в отсутствие глубоких центров обусловлен достижением краем области обеднения барьера Шоттки квантовой ямы (полка) и полным опустошением квантовой ямы (резкое падение) [3], т. е. в области полки координата  $z_m$  края слоя обеднения барьера Шоттки близка к  $d$ , и объемный заряд этого слоя практически не изменяется. При наличии же глубоких центров даже при  $z \approx d$  имеет место увеличение заряда слоя обеднения барьера Шоттки за счет опустошения глубоких центров, что и проявляется в виде роста емкости. Заметим, что наклон этих растущих участков тем меньше, чем выше концентрация глубоких уровней, что позволяет использовать вольт-фарадную методику для качественной оценки распределения глубоких уровней по шайбе (т. е. для указания мест, где их больше и меньше).

Таким образом, наличие глубоких уровней приводит к качественному изменению низкочастотной вольт-фарадной зависимости ГСЛ — росту емкости с увеличением обратного смещения на барьере.

#### СПИСОК ЛИТЕРАТУРЫ

- [1] Кальфа А. А. // Электрон. техн. Сер. 1. Электроника СВЧ. 1987. № 9. С. 35—49.
- [2] Берман Л. С. Емкостные методы исследования полупроводников. Л., 1972. 104 с.
- [3] Алешкин В. Я., Демидов Г. В., Звонков Б. М., Мурель А. В., Романов Ю. А. // Горячие электроны в полупроводниковых структурах с пониженной размерностью. М., 1990. С. 14.
- [4] Кальфа А. А. // ФТП. 1986. Т. 20. В. 3. С. 468—471.